

## 多層地盤中構造物の振動性状

熊本大学工学部 正員 秋吉 卓

1 まえがき 地中に埋設される構造物周辺の地盤の取扱いについては、その解析の都合上理想化された状態が多いが、元来その成因からして層を有している場合が多いものである。このことは地震波が下方より入射した際、各層を通過するときの伝播速度が異り、透過にからむを生ぜしめ、層によって変位や歪がかなり異なることになる。深さ方向に伝播速度が一様に変化する場合の解析については、すでに若干の研究があるが<sup>(1), (2), (3)</sup>これらはその変化が単調な場合にしか解析解が見出されないので、あまり一般性はない。しかるに、多層地盤としての解析では、層内は等方均質とすると、伝播速度を任意に変化しうるので、3層くらいの地盤モデルを考えればかなりの場合について検討しうるものと思われる。本研究ではこのような観点より、構造物としては剛ら円柱基礎が堅い基盤まで到達しているものとし、その動搖振動について検討を行なうものである。

2 地盤の強制振動 表層地盤の下方より第3層における、z方向の変位を  $u_i$  とすると、強制せん断振動の運動方程式は

$$\rho_i \frac{\partial^2 u_i}{\partial t^2} = (\mu_i + \mu'_i \frac{\partial}{\partial t}) \frac{\partial^2 u_i}{\partial z^2} - p_i \frac{\partial^2 g(t)}{\partial z^2}, \quad (j=1, 2, 3) \quad \dots \dots (1)$$

で与えられる。ただし、水平変位のみを考慮するものとし、 $g(t)$  は外力の変位関数であって、 $\rho_i, \mu_i, \mu'_i$  は各々第  $j$  層の密度、せん断弾性係数、粘性減衰係数である。このとき各層間は応力・変位ともに連続であるといふことより、次の境界条件式をうる。

$$\left. \begin{array}{l} z=0: u_1=0 \\ z=H_1: u_1=u_2, (\mu_1 + \mu'_1 \frac{\partial}{\partial t}) \frac{\partial u_1}{\partial z} = (\mu_2 + \mu'_2 \frac{\partial}{\partial t}) \frac{\partial u_2}{\partial z} \\ z=H_1+H_2: u_2=u_3, (\mu_2 + \mu'_2 \frac{\partial}{\partial t}) \frac{\partial u_2}{\partial z} = (\mu_3 + \mu'_3 \frac{\partial}{\partial t}) \frac{\partial u_3}{\partial z} \\ z=H: (\mu_3 + \mu'_3 \frac{\partial}{\partial t}) \frac{\partial u_3}{\partial z} \end{array} \right\} \dots \dots (2)$$

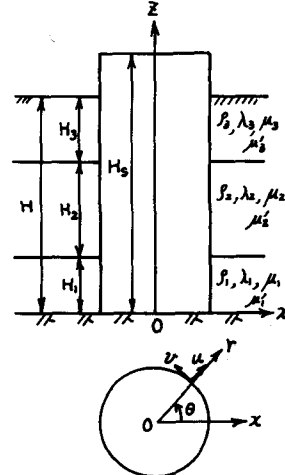


図-1 地盤と構造物のモデル

ところで、地盤の固有振動数  $\omega_m$  とその固有関数  $Z_m(z)$ , ( $j=1, 2, 3$ ) は、式(1)によつて  $\mu'=0, g(t)=0$  としてものとし、式(2)の境界条件を施して、以下のように得られる。

$$Z_m(z) = \begin{cases} Z_m^{(1)}(z) = \frac{1}{\rho_m^{(1)}} [C_m^{(1)} C_m^{(3)} - \frac{V_2}{V_1} S_m^{(1)} P_m^{(3)}] \sin R_m^{(1)} z & \text{または } \frac{1}{C_m^{(1)}} [\frac{V_2}{V_1} S_m^{(1)} C_m^{(3)} + \frac{V_2}{V_1} C_m^{(1)} S_m^{(3)}] \sin R_m^{(1)} z, \quad 0 \leq z \leq H_1 \\ Z_m^{(2)}(z) = C_m^{(1)} \cos R_m^{(1)} (H_1 + H_2 - z) - \frac{V_2}{V_1} S_m^{(1)} \sin R_m^{(1)} (H_1 + H_2 - z), \quad H_1 \leq z \leq H_1 + H_2 \\ Z_m^{(3)}(z) = \cos R_m^{(3)} (H - z), \quad H_1 + H_2 \leq z \leq H \end{cases} \dots \dots (3)$$

ただし、 $H = H_1 + H_2 + H_3$ ,  $\rho_m^{(j)} = \sin R_m^{(j)} H_j$ ,  $C_m^{(j)} = \cos R_m^{(j)} H_j$ ,  $R_m^{(j)} = \omega_m / V_j$ ,  $V_j$ : 第  $j$  層の横波速度。この固有関数  $Z_m(z)$  および初期条件  $u_i(z; 0) = \partial/\partial t \cdot u_i(z; 0)$  のもとに、式(1), (2)を満足する  $u_i(z; t)$  は

$$u_i(z; t) = \sum_{m=1}^{\infty} Z_m^{(i)} T_m(t) = \sum_{m=1}^{\infty} Z_m^{(i)}(z) \int_0^t w_m(t-\tau) \{-A_m \ddot{g}(\tau)\} d\tau \dots \dots (4)$$

$$\text{ただし, } A_m = \int_0^H g(z) Z_m(z) dz / \int_0^H g(z) Z_m^2(z) dz \dots \dots (5)$$

$$w_m(t) = \begin{cases} \frac{1}{\sqrt{1-h_m^2}\omega_m} e^{-h_m\omega_m t} \sin(\sqrt{1-h_m^2}\omega_m t), & (h_m < 1) \text{ かつ } \frac{1}{\sqrt{h_m^2-1}\omega_m} e^{-h_m\omega_m t} \sinh(\sqrt{h_m^2-1}\omega_m t), & (h_m \geq 1), \\ 0, & (t < 0) \end{cases} \quad \dots \dots (6)$$

これらの式の説明において、 $\mu'_i/\mu_i = \mu'/\mu = 2h_m\omega_m$  という仮定を用いている。したがって入力が定常調和入力  $g(t) = A_0 e^{i\omega t}$  の場合に、式(6)は容易に次式をうる。

$$u_i(z; t) = A_0 \omega^2 e^{i\omega t} \sum_{m=1}^{\infty} \frac{A_m}{\xi_m} Z_m^{(i)}(z), \quad (i=1, 2, 3), \quad \xi_m^2 = (1 + i\omega \mu'_i/\mu) \omega_m^2 - \omega^2 \quad \dots \dots (7)$$

3 構造物と周辺地盤との相互作用 圆柱状構造物表面で散乱放射される波動に関する問題では、その動径方向変位  $u_r$ 、周方向変位  $u_\theta$  は次式を満足する。

$$\left. \begin{aligned} \frac{\partial^2 u_r}{\partial t^2} &= (\lambda_i + 2\mu_i) \frac{\partial A}{\partial r} - 2\mu_i \frac{\partial \tilde{w}_r^{(i)}}{\partial \theta} + 2(\mu_i + \mu'_i \frac{\partial}{\partial z}) \frac{\partial \tilde{w}_\theta^{(i)}}{\partial z} \\ \frac{\partial^2 u_\theta}{\partial t^2} &= (\lambda_i + 2\mu_i) \frac{\partial A}{\partial \theta} - 2(\mu_i + \mu'_i \frac{\partial}{\partial z}) \frac{\partial \tilde{w}_r^{(i)}}{\partial r} + 2\mu_i \frac{\partial \tilde{w}_\theta^{(i)}}{\partial z} \end{aligned} \right\} \quad \dots \dots (8)$$

この式(8)と境界条件式(2)のもとに、入力が  $g(t) = A_0 e^{i\omega t}$  の定常の場合には、構造物が振動中に受けた側面  $p_i(z; t)$  は以下のように書き表わされる。

$$p_i(z; t) = -\beta_i \pi a^2 \sum_{m=1}^{\infty} \xi_m^2 \Delta_m^{(i)} \frac{1}{J_m} [E_m - \frac{A_0 \omega^2 I_m}{\xi_m^2}] Z_m^{(i)}(z) \cdot e^{i\omega t} \quad \dots \dots (9)$$

$$\therefore \text{ここで}, \quad E_m = \int_0^H p_i(z) \Delta_m^{(i)}(z) \eta(z) dz, \quad (\eta(z) : \text{構造物の水平変位}), \quad I_m = \int_0^H p_i(z) Z_m^{(i)}(z) dz \quad \dots \dots (10)$$

$$\Delta_m^{(i)} = \left\{ \frac{K_0(R_i a)}{K_0(R_i a)/R_i a + K_0(R_g a)/R_g a} + 4 \right\} / \left\{ \frac{K_0(R_i a)}{K_0(R_i a)/R_i a} \frac{K_0(R_g a)}{K_0(R_g a)/R_g a} + \frac{K_0(R_g a)}{K_0(R_g a)/R_g a} + \frac{K_0(R_i a)}{K_0(R_i a)/R_i a} \right\}$$

先に発表した不均質地盤の場合を参照すると、構造物の動強度回転角  $\phi = \phi_o(\omega) \exp(i\omega t)$  に対して

$$\phi_o(\omega) = \frac{\frac{H_a}{i_0^2} + \frac{1}{H} \left( \frac{\omega_s}{\omega_o} \right)^2 \chi(q_1 + i q_2)}{A_0 \left( \frac{\omega}{\omega_o} \right)^2 + 2i R_s \frac{\omega_s}{\omega_o} \frac{\omega}{\omega_o} - \left( \frac{\omega}{\omega_o} \right)^2 + \left( \frac{\omega_s}{\omega_o} \right)^2 \chi(f_1 + f_2)} \quad \dots \dots (11)$$

と表わすことができる。 $i_0^2$  は  $i_0 = V_i / U_i \cdot R_s a$ ,

$R_s a = \pi a / 2H \cdot V_0 / V_i \cdot \xi_m^2$ ,  $\xi_m^2 = \xi_m / \omega_0$ ,  $\omega_b = \pi / 2H \cdot V_0$ ,

$U_i, V_i$ : 第  $i$  層の継波・横波の伝播速度

#### 4 数値計算結果とその考察

図-2 は数値計算結果の一例であるが、上図は地盤変位、下図は震動圧の絶対値で、その共震実付近の分布を示したものである。

3層のうち上下層が軟かいと地盤変位は全般的に大きくなるが、その震動圧は中間層のものしか有効

ではなく、また中間層のみが軟かい地盤では、地盤変位

と震動圧は上層の部分が極端に大きくなることを示して

いるが、一様地盤では地盤変位の大きい割には、震

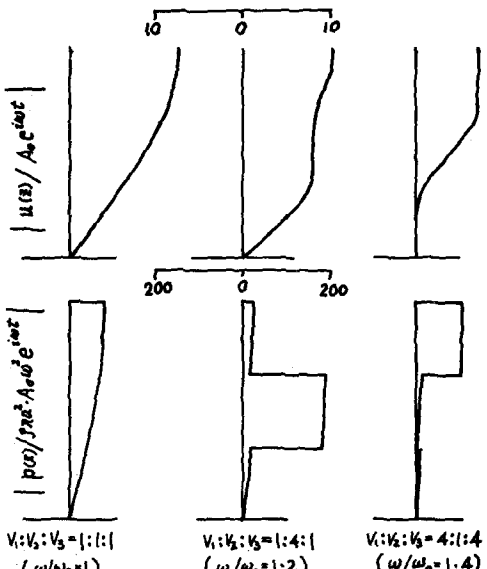


図-2 地盤変位と震動圧の分布

1) 総合小冊: 日本地震工学シンポジウム(1966)講演集, 2) 土坂: 第3回日本地震工学シンポジウム(1970)講演集, 3) 犀谷: 第3回日本地震工学シンポジウム(1970)講演集.